



UNIVERSITÀ  
DEGLI STUDI  
FIRENZE

Scuola di  
Scienze Matematiche  
Fisiche e Naturali

Corso di Laurea in  
Matematica

# **La molteplicità di intersezione delle curve algebriche e il Teorema di Bezout**

## **The intersection multiplicity of algebraic curves and Bezout's Theorem**

**Relatore**

Prof. Giorgio Ottaviani

**Candidato**

Alessia Innocenti

Anno Accademico 2013/2014

## Indice

<b>1</b>	<b>Introduzione</b>	<b>1</b>
<b>2</b>	<b>Varietà proiettive e ideali omogenei</b>	<b>1</b>
<b>3</b>	<b>Il Teorema di Bezout</b>	<b>2</b>
<b>4</b>	<b>Decomposizione primaria</b>	<b>5</b>
<b>5</b>	<b>Molteplicità di intersezione di curve algebriche</b>	<b>7</b>
<b>6</b>	<b>Esempio</b>	<b>10</b>
	<b>Bibliografia</b>	<b>11</b>

## 1 Introduzione

L'obiettivo di questa relazione è lo studio dell'intersezione di due curve algebriche nel piano proiettivo, in particolare saranno trattati i problemi del numero di intersezioni e delle loro molteplicità. Inizialmente saranno introdotte le varietà proiettive e gli ideali omogenei, nozioni base nell'ambito della geometria algebrica, e alcuni risultati che servono alla formulazione del noto teorema di Bezout, che tratterò nel caso specifico del campo algebricamente chiuso  $\mathbb{C}$ . A partire da tale teorema, si giungerà al confronto tra le due definizioni di molteplicità che saranno definite.

## 2 Varietà proiettive e ideali omogenei

Lo spazio proiettivo  $n$ -dimensionale su un campo  $K$ ,  $\mathbb{P}^n(K)$ , è definito come l'insieme  $\mathbb{P}^n(K) = (K^{n+1} \setminus \{0\}) / \sim$ , dove la relazione di equivalenza è definita come segue:  $(x'_0, \dots, x'_n) \sim (x_0, \dots, x_n)$  se  $\exists \lambda \neq 0$  tale che  $(x'_0, \dots, x'_n) = \lambda(x_0, \dots, x_n)$ . In particolare ogni  $(n+1)$ -pla non nulla  $(x_0, \dots, x_n) \in K^{n+1}$  definisce un punto  $p$  in  $\mathbb{P}^n(K)$  e si dice che  $(x_0, \dots, x_n)$  sono le coordinate omogenee di  $p$ . Geometricamente è possibile identificare  $\mathbb{P}^n(K)$  con l'insieme delle rette che passano dall'origine in  $K^{n+1}$ .

Si osserva che il luogo degli zeri in  $\mathbb{P}^n(K)$  non è ben definito per ogni polinomio, ma è necessario considerare i polinomi omogenei, ossia i polinomi i cui termini hanno tutti lo stesso grado. Infatti se  $f$  è omogeneo si ha  $f(\lambda x_0, \dots, \lambda x_n) = \lambda^{\deg f} f(x_0, \dots, x_n)$ , così che l'equazione  $f(x_0, \dots, x_n) = 0$  non dipende dal rappresentante  $(x_0, \dots, x_n)$  nella classe di equivalenza rispetto alla relazione  $\sim$  sopra definita.

**Definizione 2.1.** Sia  $K$  un campo e siano  $f_1, \dots, f_t \in K[x_0, \dots, x_n]$  polinomi omogenei. L'insieme

$$V(f_1, \dots, f_t) = \{(a_0, \dots, a_n) \in \mathbb{P}^n(K) \mid f_i(a_0, \dots, a_n) = 0 \forall 1 \leq i \leq t\}$$

si chiama varietà proiettiva definita da  $f_1, \dots, f_t$ . In particolare, se  $f$  è un polinomio omogeneo,  $V(f)$  si dice una ipersuperficie.

Vediamo ora come le varietà affini in  $K^n$  definite da polinomi appartenenti a  $K[x_1, \dots, x_n]$  possano essere ampliate a varietà proiettive rendendo i loro polinomi omogenei; tale procedimento è detto omogeneizzazione.

**Proposizione 2.2.** Sia  $g(x_1, \dots, x_n) \in K[x_1, \dots, x_n]$  un polinomio di grado  $d$ .

(i) Sia  $g = \sum_{i=0}^d g_i$  l'espansione di  $g$  nelle sue componenti omogenee, dove  $g_i$  ha grado  $i$ . Allora:

$$g^h(x_0, \dots, x_n) = \sum_{i=0}^d g_i(x_1, \dots, x_n) x_0^{d-i}$$

è un polinomio omogeneo di grado  $d$  in  $K[x_0, \dots, x_n]$ .  $g^h$  si dice omogeneizzazione di  $g$ .

(ii) L'omogeneizzazione di  $g$  si può ricavare dalla formula  $g^h = x_0^d g\left(\frac{x_1}{x_0}, \dots, \frac{x_n}{x_0}\right)$ .

(iii) La deomogeneizzazione di  $g^h$  riporta a  $g$ , ossia  $g^h(1, x_1, \dots, x_n) = g(x_1, \dots, x_n)$ .

(iv) Sia  $F(x_0, \dots, x_n)$  polinomio omogeneo e sia  $x_0^e$  la potenza più grande di  $x_0$  che divide  $F$ . Se  $f(x_1, \dots, x_n) = F(1, x_1, \dots, x_n)$  è la deomogeneizzazione di  $F$ , allora  $F(x_0, \dots, x_n) = x_0^e f^h(x_0, \dots, x_n)$ .

La definizione di varietà proiettiva vista si può generalizzare, mettendo in luce la relazione che c'è tra varietà proiettive e ideali omogenei. Si nota che l'essere omogeneo non è una proprietà che conserva l'operazione di somma, infatti la somma di due polinomi omogenei di grado diverso non è uguale a un polinomio omogeneo. Per ovviare a tale problema è necessario considerare una particolare classe di ideali, detti ideali omogenei.

**Definizione 2.3.** Un ideale  $I$  in  $K[x_0, \dots, x_n]$  si dice omogeneo se per ogni  $f \in I$ , le sue componenti omogenee  $f_i \in I \forall i$ .

Segue che per ogni ideale omogeneo  $I \subset K[x_0, \dots, x_n]$  si può definire la varietà proiettiva come  $\mathbf{V}(I) = \{p \in \mathbb{P}^n(K) \mid f(p) = 0 \forall f \in I \text{ omogeneo}\}$ . Inoltre se  $V$  è varietà proiettiva si può definire l'ideale omogeneo come  $\mathbf{I}(V) = \{f \in K[x_0, \dots, x_n] \mid f(a_0, \dots, a_n) = 0 \forall (a_0, \dots, a_n) \in V\}$ .

### 3 Il Teorema di Bezout

Da questa sezione consideriamo solo il piano proiettivo sul campo dei complessi, ossia  $\mathbb{P}^2(\mathbb{C})$ , perciò le curve algebriche di cui trattiamo saranno varietà proiettive  $\mathbf{V}(f)$  definite da  $f \in \mathbb{C}[x, y, z]$  polinomio omogeneo non nullo. Prima di enunciare il teorema di Bezout, vediamo cosa si intende quando si parla di componenti irriducibili di una curva e di molteplicità di intersezione.

**Proposizione 3.1.** Sia  $f \in \mathbb{C}[x, y, z]$  un polinomio omogeneo non nullo, allora i fattori irriducibili di  $f$  sono omogenei.

*Dimostrazione.* Suppongo che  $f$  omogeneo si fattorizzi come  $f = gh$  per qualche polinomio  $g, h \in \mathbb{C}[x, y, z]$ . Allora si scrive  $g = g_m + \dots + g_0$ , dove  $g_i$  è omogeneo di grado  $i$  e in modo analogo si scrive  $h = h_n + \dots + h_0$ , dove  $h_j$  è omogeneo di grado  $j$ . Allora

$$f = gh = g_m h_n + \text{termini di grado minore}$$

Poichè  $f$  è omogeneo allora i termini di grado minore sono nulli. Segue  $f = g_m h_n$ , ossia  $g = g_m$  e  $h = h_n$ , cioè  $g$  e  $h$  sono omogenei.  $\square$

Quindi se  $C = \mathbf{V}(f)$  e  $f$  si fattorizza come  $f = f_1^{\alpha_1} \dots f_s^{\alpha_s}$ , si dice che  $f_1 \dots f_s$  è l'equazione ridotta di  $C$ , unica a meno di costanti moltiplicative. La nostra prima ipotesi sarà quella di considerare due curve  $C = \mathbf{V}(f)$  e  $D = \mathbf{V}(g)$  senza componenti irriducibili in comune, ossia  $f$  e  $g$  non devono avere fattori in comune.

**Definizione 3.2.** Siano  $f(x) = \sum_{i=0}^m a_i x^i$  e  $g(x) = \sum_{j=0}^n b_j x^j$  due polinomi in  $\mathbb{C}[x]$ . Il risultante è definito come il determinante della seguente matrice data dai coefficienti di  $f$  e  $g$ :

$$Res(f, g, x) = \det \begin{pmatrix} a_0 & & & b_0 & & \\ \vdots & \ddots & & \vdots & \ddots & \\ a_m & & a_0 & b_n & & b_0 \\ & \ddots & \vdots & \ddots & \ddots & \vdots \\ & & a_m & & & b_n \end{pmatrix} \quad (1)$$

**Lemma 3.3.** Siano  $f, g \in \mathbb{C}[x, y, z]$  polinomi omogenei di grado rispettivamente  $m, n$ . Se  $f(0, 0, 1) \neq 0$  e  $g(0, 0, 1) \neq 0$ , allora il risultante  $Res(f, g, z)$  è un polinomio omogeneo in  $x$  e  $y$  di grado  $mn$ .

*Dimostrazione.* Scrivo  $f$  e  $g$  come polinomi in  $z$ , ossia:

$$\begin{aligned} f &= a_0 z^m + \dots + a_m \\ g &= b_0 z^n + \dots + b_n \end{aligned}$$

dove ogni  $a_i, b_j \in \mathbb{C}[x, y]$  sono omogenei di grado rispettivamente  $i, j$  e  $a_0 \neq 0, b_0 \neq 0$  poichè  $f(0, 0, 1), g(0, 0, 1)$  sono non nulli. Il risultante  $Res(f, g, z)$  è dato dal determinante della matrice  $(m+n) \times (m+n)$  come in (1). Chiamo ora  $c_{ij}$  la componente  $(i, j)$  della matrice. Allora si ha:

$$c_{ij} = \begin{cases} a_{i-j} & \text{se } j \leq n \\ b_{n+i-j} & \text{se } j > n \end{cases}$$

$c_{ij}$  è omogeneo di grado  $i - j$  se  $j \leq n$  oppure  $n + i - j$  se  $j > n$ .

Il determinante è una somma i cui addendi sono del tipo  $\pm \prod_{i=1}^{m+n} c_{i\sigma(i)}$ , dove  $\sigma$  è una permutazione di  $\{1, \dots, m+n\}$ . Poichè ogni fattore è non nullo allora si può scrivere il prodotto come:

$$\pm \prod_{\sigma(i) \leq n} c_{i\sigma(i)} \prod_{\sigma(i) > n} c_{i\sigma(i)}$$

Il prodotto è un polinomio omogeneo il cui grado è :

$$\underbrace{\sum_{\sigma(i) \leq n} (i - \sigma(i))}_{n \text{ addendi}} + \underbrace{\sum_{\sigma(i) > n} (n + i - \sigma(i))}_{m \text{ addendi}} = mn + \sum_{i=1}^{m+n} i - \sum_{i=1}^{m+n} \sigma(i) = mn$$

Questo prova che  $Res(f, g, z)$  è una somma di polinomi omogenei nelle coordinate  $x$  e  $y$  di grado  $mn$ .  $\square$

**Lemma 3.4.** Sia  $h \in \mathbb{C}[x, y]$  un polinomio omogeneo non nullo. Allora si può scrivere nella forma:

$$h = c(s_1x - r_1y)^{m_1} \dots (s_kx - r_ky)^{m_k}$$

dove  $c \neq 0$  in  $\mathbb{C}$  e  $(r_1, s_1), \dots, (r_k, s_k)$  sono punti distinti di  $\mathbb{P}^1(\mathbb{C})$ . In particolare,  $\mathbf{V}(h) = \{(r_1, s_1), \dots, (r_k, s_k)\} \subset \mathbb{P}^1(\mathbb{C})$ .

Dai due lemmi appena dimostrati segue un importante teorema che mostra che il numero di punti di intersezione di due curve è finito e, in particolare, non è maggiore del prodotto dei gradi delle equazioni ridotte che le definiscono.

**Teorema 3.5 (Forma debole del Teorema di Bezout).** Siano  $C$  e  $D$  curve in  $\mathbb{P}^2(\mathbb{C})$  senza fattori comuni. Se i gradi delle equazioni ridotte di  $C$  e  $D$  sono rispettivamente  $m$  e  $n$ , allora l'intersezione  $C \cap D$  è finita ed ha al massimo  $mn$  punti.

*Dimostrazione.* Suppongo per assurdo che  $C \cap D$  abbia più di  $mn$  punti. Prendo i punti  $p_1, \dots, p_{mn+1}$  e considero, per  $1 \leq i < j \leq mn + 1$ , le rette  $L_{ij}$  che passano da  $p_i$  e da  $p_j$ . Fisso ora un punto  $q \in \mathbb{P}^2(\mathbb{C})$  tale che

$$q \notin C \cup D \cup \bigcup_{i < j} L_{ij} \quad (2)$$

Ora è facile trovare un'applicazione lineare  $A : \mathbb{P}^2(\mathbb{C}) \rightarrow \mathbb{P}^2(\mathbb{C})$  tale che  $A(q) = (0, 0, 1)$ . Perciò considero  $q$  nelle nuove coordinate in modo tale che la condizione (2) valga per il punto  $q = (0, 0, 1)$ .

Suppongo  $C = \mathbf{V}(f)$  e  $D = \mathbf{V}(g)$  con  $f$  e  $g$  equazioni ridotte di gradi rispettivamente  $m$  e  $n$ . Allora per (2) si ha che  $(0, 0, 1) \notin C$ , che implica  $f(0, 0, 1) \neq 0$ , e analogamente  $g(0, 0, 1) \neq 0$ . Inoltre per il lemma 3.3  $Res(f, g, z)$  è un polinomio omogeneo di grado  $mn$  in  $x$  e  $y$  e, poichè  $f$  e  $g$  hanno grado positivo in  $z$  e non hanno fattori in comune in  $\mathbb{C}[x, y, z]$ , allora  $Res(f, g, z) \neq 0$ .

Chiamo  $p_i = (u_i, v_i, w_i)$  e, da  $Res(f, g, z) \in (f, g) \cap \mathbb{C}[x, y]$  (vedi [1], p. 163), segue

$$Res(f, g, z)(u_i, v_i) = 0 \quad (3)$$

Si nota ora che se considero la retta passante per  $q = (0, 0, 1)$  e  $p_i$ , questa interseca la retta  $z = 0$ . Quindi, per (3),  $Res(f, g, z)$  si annulla sui punti che si ottengono proiettando  $p_i \in C \cap D$  da  $(0, 0, 1)$  sulla retta  $z = 0$ . Ma da (2),  $(0, 0, 1)$  non giace su nessuna delle rette  $L_{ij}$ , quindi i punti  $(u_i, v_i, 0)$  sono tutti distinti per  $i = 1, \dots, mn + 1$ .

Se si prendono i punti distinti  $(u_i, v_i) \in \mathbb{P}^1(\mathbb{C})$  per  $i = 1, \dots, mn + 1$ , allora il polinomio omogeneo  $Res(f, g, z)$  si annulla su tutti gli  $mn + 1$  punti considerati. Ma questo è assurdo poichè per il lemma precedente,  $Res(f, g, z)$  è non nullo di grado  $mn$ .  $\square$

**Definizione 3.6.** Siano  $C$  e  $D$  curve in  $\mathbb{P}^2(\mathbb{C})$  senza fattori comuni e definite dalle equazioni ridotte  $f = 0$  e  $g = 0$ . Scelte le coordinate per  $\mathbb{P}^2(\mathbb{C})$  così che sia soddisfatta

$$(0, 0, 1) \notin C \cup D \cup \bigcup_{p \neq q \in C \cap D} L_{pq} \quad (4)$$

Allora, preso  $p = (u, v, w) \in C \cap D$ , la molteplicità di  $p$ ,  $I_p(C, D)$ , è definita dall'esponente di  $vx - uy$  nella fattorizzazione di  $Res(f, g, z)$ .

Osserviamo che prese le curve  $C = \mathbf{V}(f)$  e  $D = \mathbf{V}(g)$  senza componenti irriducibili in comune, se  $p = (u, v, w) \in C \cap D$  e vale (4), allora, come visto nella dimostrazione del teorema precedente,  $Res(f, g, z)(u, v) = 0$ . Quindi effettivamente  $(vx - uy)$  è un fattore del risultante.

Abbiamo ora tutte le ipotesi per poter enunciare il teorema di Bezout.

**Teorema 3.7 (di Bezout).** Siano  $C$  e  $D$  due curve in  $\mathbb{P}^2(\mathbb{C})$  senza fattori in comune, e siano  $m$  e  $n$  i gradi rispettivi delle equazioni ridotte che definiscono le curve. Allora

$$\sum_{p \in C \cap D} I_p(C, D) = mn$$

dove  $I_p(C, D)$  indica la molteplicità di intersezione di  $p$ , come definita nella Definizione 3.6.

*Dimostrazione.* Siano  $f$  e  $g$  le equazioni ridotte di  $C$  e  $D$  e suppongo che le coordinate siano scelte in modo che soddisfino (4). Scrivo i punti di  $C \cap D$  come  $p = (u_p, v_p, w_p)$ . Allora per i lemmi 3.3 e 3.4:

$$Res(f, g, z) = c \prod_{p \in C \cap D} (v_p x - u_p y)^{I_p(C, D)} \quad (5)$$

dove  $c$  è una costante non nulla. Dalla definizione di molteplicità,  $\forall p$ , è chiaro che  $(v_p x - u_p y)^{I_p(C, D)}$  è l'esatta potenza che divide il risultante.

Proviamo ora che vale per tutte le radici. Se  $(u, v) \in \mathbb{P}^1(\mathbb{C})$  soddisfa  $Res(f, g, z)(u, v) = 0$ , allora  $\exists w \in \mathbb{C}$  tale che  $f$  e  $g$  si annulla in  $(u, v, w)$ . Infatti se  $f$  e  $g$  sono scritte come nel Lemma 3.3,  $a_0$  e  $b_0$  sono costanti non nulle per (4). Allora  $(u, v, w) \in C \cap D$ .

Sappiamo inoltre che  $Res(f, g, z)$  è un polinomio omogeneo non nullo di grado  $mn$ . Allora il teorema segue facilmente confrontando il grado del risultante e della produttoria.  $\square$

## 4 Decomposizione primaria

Sia  $I = (f_1, \dots, f_i)$  un ideale zero dimensionale di  $\mathbb{C}[x_1, \dots, x_n]$ , ossia il sistema costituito dalle  $f_i$  ha un numero finito di soluzioni uguale a  $k$ , e considero il quoziente  $\mathbb{C}[x_1, \dots, x_n]/I$ , la cui dimensione è pari a  $k$ . Prendiamo come base di tale quoziente  $\{[x^a] \mid x^a \notin LI\}$ ,

costituita dalle classi di monomi modulo  $I$  non contenuti in  $LT(I)$  (vedi [1], §5.3). Consideriamo ora l'applicazione lineare rispetto alla base data dalle classi  $[x^a]$  indotta dalla moltiplicazione per  $x_i$ :

$$M_{x_i} : \mathbb{C}[x_1, \dots, x_n]/I \rightarrow \mathbb{C}[x_1, \dots, x_n]/I \\ [g] \mapsto [gx_i]$$

Tali matrici sono dette matrici compagne di  $I$ . Similmente si definisce la matrice compagna rispetto alla moltiplicazione per  $h(x_1, \dots, x_n) \in \mathbb{C}[x_1, \dots, x_n]$  come  $M_{h(x_1, \dots, x_n)} = h(M_{x_1}, \dots, M_{x_n})$ . Inoltre, per ogni  $h, k \in \mathbb{C}[x_1, \dots, x_n]$  e  $a \in \mathbb{C}$ , sono soddisfatte le proprietà di linearità rispetto alla somma e al prodotto di  $M_h$  e  $M_k$ , e al prodotto di  $M_h$  per uno scalare  $a$ .

**Teorema 4.1 (Decomposizione primaria).** (Per la dimostrazione vedi [4])

Sia  $\mathbf{V}(I) = \{p_1, \dots, p_k\}$ . Sia  $h(x) \in \mathbb{C}[x_1, \dots, x_n]$  tale che  $h(p_i)$  siano distinti. Considero per  $i = 1, \dots, k$  le applicazioni lineari

$$M_{h(x)-h(p_i)} : \mathbb{C}[x_1, \dots, x_n]/I \rightarrow \mathbb{C}[x_1, \dots, x_n]/I$$

(i) Posto  $A_i = \text{Ker}(M_{h(x)-h(p_i)})^\infty$ , ossia gli autospazi generalizzati di  $M_{h(x)}$ , sottoalgebre e ideali di  $\mathbb{C}[x_1, \dots, x_n]$ , abbiamo la decomposizione diretta di sottoalgebre

$$\mathbb{C}[x_1, \dots, x_n]/I = \bigoplus_{i=1}^k A_i \quad (6)$$

(ii) Posto  $J_i = \bigoplus_{j \neq i} A_j$ , ideale di  $\mathbb{C}[x_1, \dots, x_n]/I$ , la sua retroimmagine  $\tilde{J}_i \subset \mathbb{C}[x_1, \dots, x_n]$  è un ideale primario, tale che  $\sqrt{\tilde{J}_i} = M_i$ , dove  $M_i$  è l'ideale massimale dato dai polinomi che si annullano in  $p_i$ , e  $A_i = \mathbb{C}[x_1, \dots, x_n]/(\tilde{J}_i)$ ,

$$\bigcap_{i=1}^n \tilde{J}_i = I$$

Tale intersezione si dice decomposizione primaria di  $I$ .

Da questo teorema deriva la seguente definizione di molteplicità, che nella prossima sezione faremo vedere essere equivalente a quella già definita in precedenza:

**Definizione 4.2.**  $\dim A_i$  si dice molteplicità di  $p_i$  in  $I$

**Osservazione 4.3.** La decomposizione diretta di sottoalgebre del Teorema 4.1 non dipende dalla scelta di  $h(x)$ . Supponiamo di avere un secondo polinomio  $k(x) \in \mathbb{C}[x_1, \dots, x_n]$  che assume valori distinti sui punti  $p_i$  e vediamo che  $A_i = \text{Ker}(M_{h(x)-h(p_i)})^\infty = \text{Ker}(M_{k(x)-k(p_i)})^\infty = A'_i$ .

Ora,  $A_i$  è  $k(x)$ -invariante, infatti  $A_i = \text{Ker}(M_{h(x)-h(p_i)})^N$  per  $N$  sufficientemente grande e preso  $v \in A_i$  si ha che  $(M_{h(x)-h(p_i)})^N \cdot (M_{k(x)}v) = M_{k(x)} \cdot (M_{h(x)-h(p_i)})^N v = 0$ , perchè  $(M_{h(x)-h(p_i)})^N v = 0$ , ossia  $M_{k(x)}v \in A_i$ . Dal Teorema 4.1 si sa inoltre che  $A_i = \mathbb{C}[x_1, \dots, x_n]/(\tilde{J}_i)$  e  $\mathbf{V}(\tilde{J}_i) = \{p_i\}$ , allora l'unico autovalore di  $M_{k(x)}$  su  $A_i$  è  $k(p_i)$  (vedi [4], p. 17). Segue che  $A_i = \text{Ker}(M_{h(x)-h(p_i)})^\infty \subseteq \text{Ker}(M_{k(x)-k(p_i)})^\infty = A'_i$ . Inoltre, la somma dei  $A_i$  e quella dei  $A'_i$  sono dirette, quindi vale l'uguaglianza:  $A_i = A'_i$ .

Dall'osservazione segue che la Definizione 4.2 è ben definita e non dipende dalla scelta del polinomio  $h(x)$ , così come le sottoalgebre  $A_i$  del Teorema che dipendono solo da  $I$ .

## 5 Molteplicità di intersezione di curve algebriche

Abbiamo visto due definizioni diverse di molteplicità dei punti di intersezione di due curve e si vuole ora dimostrare che tali definizioni sono equivalenti. Da qui in avanti useremo la notazione  $m_{CLO}$  e  $m_{GAC}$  per indicare la molteplicità rispettivamente secondo la definizione 3.6 e 4.2 e supporremo che, date le curve  $C$  e  $D$ , i punti appartenenti a  $C \cap D$  soddisfino la condizione (4).

**Lemma 5.1.** Siano  $C = \mathbf{V}(f)$  e  $D = \mathbf{V}(g)$  due curve in  $\mathbb{P}^2(\mathbb{C})$  senza fattori in comune e siano  $p_i = (\alpha_i, \beta_i, 1)$ , per  $i = 1, \dots, k$ , i punti distinti di  $C \cap D$  che soddisfano le seguenti condizioni :

1. Nessun punto  $p_i$  giace sulla retta all'infinito, ossia  $z = 0$ .
2. Ogni polinomio  $a_s(x, y) = \beta_s x - \alpha_s y$  assume valori distinti sui punti  $(\alpha_i, \beta_i)$ , per ogni  $i = 1, \dots, k$ .

Se  $\mathcal{R} = \mathbb{C}[x, y]/(f(x, y, 1), g(x, y, 1))$  e  $\mathcal{R}_i = \text{Ker}(M_{\beta_i x - \alpha_i y})^\infty$  per  $i = 1, \dots, k$ , allora

$$\mathcal{R} = \bigoplus_{i=1}^k \mathcal{R}_i$$

*Dimostrazione.* Fissato  $s$ , il polinomio  $a_s(x, y) = \beta_s x - \alpha_s y$  per ipotesi assume valori distinti sui punti  $p_i = (\alpha_i, \beta_i) \forall i$  e in particolare:

$$\beta_s \alpha_i - \alpha_s \beta_i = \begin{cases} = 0, & \text{se } i = s \\ \neq 0, & \text{se } i \neq s \end{cases}$$

Chiamo  $A_i^{(s)} = \text{Ker}(M_{a_s(x, y) - a_s(\alpha_i, \beta_i)})^\infty$  e osserviamo che  $A_s^{(s)} = \text{Ker}(M_{a_s(x, y) - a_s(\alpha_s, \beta_s)})^\infty = \text{Ker}(M_{\beta_s x - \alpha_s y})^\infty = \mathcal{R}_s$ . Per il Teorema di Decomposizione Primaria,  $\mathcal{R} = \bigoplus_{i=1}^k A_i^{(s)}$ , ma la decomposizione in somma diretta non dipende dalla scelta del polinomio  $a_s(x, y)$  per ogni  $s$ , per l'osservazione 4.3. In particolare per il punto  $p_i$  si osserva che  $\forall s$ :

$$\mathcal{R}_i = A_i^{(i)} = \text{Ker}(M_{a_i(x, y) - a_i(\alpha_i, \beta_i)})^\infty = \text{Ker}(M_{a_s(x, y) - a_s(\alpha_i, \beta_i)})^\infty = A_i^{(s)}$$

Segue che  $\mathcal{R} = \bigoplus_{i=1}^k A_i^{(s)} = \bigoplus_{i=1}^k \mathcal{R}_i$ . □

**Osservazione 5.2.** Segue dalla dimostrazione del lemma precedente che  $\dim \mathcal{R}_i = m_{GAC, i}$ .

Prima di enunciare il Teorema, definiamo la funzione di Hilbert che ci servirà per la dimostrazione.

**Definizione 5.3.** Sia  $I$  ideale omogeneo di  $\mathbb{C}[x_0, \dots, x_n]$ . La funzione di Hilbert proiettiva è definita per ogni naturale  $s$  da

$$F_I(s) = \dim \frac{\mathbb{C}[x_0, \dots, x_n]_s}{I_s}$$

dove  $I_s = I \cap \mathbb{C}[x_0, \dots, x_n]_s$  e  $\mathbb{C}[x_0, \dots, x_n]_s = \{p \in \mathbb{C}[x_0, \dots, x_n] \mid \deg p = s\}$ .

**Teorema 5.4.** Siano  $C$  e  $D$  due curve in  $\mathbb{P}^2(\mathbb{C})$  senza fattori in comune e siano  $m$  e  $n$  i gradi rispettivi delle equazioni ridotte  $f$  e  $g$  che definiscono le curve. Allora le Definizioni 3.6 e 4.2 di molteplicità sono equivalenti.

*Dimostrazione.* Siano  $f(x, y, z)$  e  $g(x, y, z)$  i polinomi omogenei che definiscono rispettivamente le curve  $C$  e  $D$ . Deomogeneizzando i due polinomi rispetto a  $z$ , si trova  $F(x, y) = f(x, y, 1)$  e  $G(x, y) = g(x, y, 1)$ , entrambi non nulli per la condizione (4).

Chiamo  $\mathcal{R} = \mathbb{C}[x, y]/(F(x, y), G(x, y))$  e sia  $h(x, y) = \text{Res}(f, g, z)$  polinomio omogeneo in  $x$  e  $y$ . I punti  $p_i = (\alpha_i, \beta_i)$  per  $i = 1, \dots, k$  sono i punti distinti di  $C \cap D$  in  $\mathbb{C}^2 \subset \mathbb{P}^2(\mathbb{C})$ , infatti si può assumere che nessuno dei punti  $p_i$  stia su  $z = 0$ , se necessario si può operare un cambio di coordinate. Allora si può scrivere il risultante come:

$$h(x, y) = c \prod_{i=1}^k (\beta_i x - \alpha_i y)^{m_{CLO,i}} \quad (7)$$

dove  $m_{CLO,i} = I_{p_i}(C, D)$  e  $c \neq 0$  costante.

Se inoltre consideriamo il polinomio  $a_j(x, y) = \beta_j x - \alpha_j y$ , possiamo supporre che il polinomio  $a_j$  assuma valori distinti su ogni punto  $(\alpha_i, \beta_i) \forall i = 1, \dots, k$ ; infatti questo è vero per una scelta strategica di  $(0, 0, 1)$  e si può sempre trovare tale punto con un opportuno cambio di coordinate.

La dimostrazione si può ora suddividere in due parti. Nella prima parte vedremo che  $m_{GAC,i} \leq m_{CLO,i}$ , mentre nella seconda proveremo che  $\dim \mathcal{R} = mn$ .

**I)** Dal lemma 5.1,  $\mathcal{R} = \bigoplus_{i=1}^k \mathcal{R}_i$  e per il punto (ii) del Teorema 4.1 si ha che, per ogni  $i$ ,  $\mathcal{R}_i = \mathbb{C}[x, y]/(\tilde{J}_i)$ , con  $\tilde{J}_i$  ideale tale che  $\sqrt{\tilde{J}_i} = (x - \alpha_i, y - \beta_i)$ . Per come è definito  $\sqrt{\tilde{J}_i}$ ,  $\exists N_i$  tale che  $(x - \alpha_i)^{N_i} \equiv 0 \pmod{(\tilde{J}_i)}$  e  $(y - \beta_i)^{N_i} \equiv 0 \pmod{(\tilde{J}_i)}$ .

Pongo  $N = \max(N_1, \dots, N_k)$  e  $t = \frac{y}{x}$  e definisco l'applicazione lineare e suriettiva:

$$\begin{aligned} \phi : \quad \mathbb{C}[t]/(h(t)) &\longrightarrow \mathcal{R} \\ p(t) \pmod{h(t)} &\longmapsto x^{2N} p\left(\frac{y}{x}\right) \pmod{(F, G)} \end{aligned}$$

- $\phi$  è suriettiva. Per dimostrarlo vediamo che ogni classe  $[q] \in \mathcal{R}$  ha un rappresentante della forma  $q(x, y) = x^{2N} p\left(\frac{y}{x}\right)$  con  $\deg p < 2N$ . In particolare, poiché  $\mathcal{R}$  è somma diretta di  $\mathcal{R}_i$ , è sufficiente provare la tesi per un  $[q] \in \mathcal{R}_i$ .

Considero lo sviluppo di Taylor in  $(\alpha_i, \beta_i)$  di  $q(x, y)$ , ossia  $q(x, y) = q(\alpha_i, \beta_i) + (x - \alpha_i) \frac{\partial q}{\partial x}(\alpha_i, \beta_i) + (y - \beta_i) \frac{\partial q}{\partial y}(\alpha_i, \beta_i) + \dots = \sum_{i,j} c_{ij} (x - \alpha_i)^i (y - \beta_i)^j$  per opportune costanti  $c_{ij}$ . Per  $q(x, y) \pmod{(\tilde{J}_i)}$  si può osservare che non ci sono addendi di grado totale  $\geq 2N$ , quindi ogni  $[q] \in \mathcal{R}_i$  ha un rappresentante di grado totale  $\leq 2N$ .

Ora per il Teorema cinese dei resti,  $\mathbb{C}[t]/(h(t)) = \bigoplus_{i=1}^k \mathbb{C}[t]/((\beta_i - \alpha_i t)^{m_{CLO,i}})$ , mentre  $\mathcal{R} = \bigoplus_{i=1}^k \mathcal{R}_i$ , vogliamo allora dimostrare che l'applicazione definita rispetta gli addendi.

- $\phi$  rispetta gli addendi.

Sia  $h_i(t) = \frac{h(t)}{(\beta_i - \alpha_i t)^{m_{CLO,i}}}$  per  $i = 1, \dots, k$ . Si osserva che  $MCD(h_1, \dots, h_k) = 1$ , allora  $\exists b_1, \dots, b_k$  tali che  $\sum_{i=1}^k b_i h_i = 1$ . Preso  $\bar{f} \in \mathbb{C}[t]/(h(t))$ ,  $\bar{f} = \sum_{i=1}^k b_i h_i \bar{f}$ , e in particolare  $b_i h_i \bar{f} \in \mathbb{C}[t]/(\beta_i - \alpha_i t)^{m_{CLO,i}}$ , per ogni  $i$ .

$$(b_i h_i \bar{f})(\beta_i x - \alpha_i y)^{m_{CLO,i}} \equiv 0 \pmod{(F, G)}$$

quindi  $(b_i h_i \bar{f})$  è autovettore di  $(M_{\beta_i x - \alpha_i y})^{m_{CLO,i}}$  con autovalore nullo.

$\mathcal{R}_s$  è autospazio generalizzato per  $(M_{\beta_i x - \alpha_i y})^{m_{CLO,i}}$  con autovalore  $a_i(\alpha_s, \beta_s)$  che è  $= 0$  se  $i = s$  ed è  $\neq 0$  se  $i \neq s$ . Perciò

$$b_i h_i \bar{f} = \begin{cases} \in \mathcal{R}_i \\ \notin \mathcal{R}_s & \text{se } s \neq i \end{cases}$$

$\mathcal{R}_i$  sono sottoalgebre (e ideali) perciò sono chiuse per la moltiplicazione per potenze di  $x$ , segue che  $\phi(b_i h_i \bar{f}) = x^{2N} (b_i h_i \bar{f}) \left(\frac{y}{x}\right) \in \mathcal{R}_i$ .

Allora:

$$\begin{aligned} m_{GAC} &= \sum_{i=1}^k m_{GAC,i} = \sum_{i=1}^k \dim \mathcal{R}_i = \dim \mathcal{R} \leq \dim \frac{\mathbb{C}[t]}{(h(t))} = \\ &= \sum_{i=1}^k \dim \frac{\mathbb{C}[t]}{(\beta_i - \alpha_i t)^{m_{CLO,i}}} = \sum_{i=1}^k m_{CLO,i} = mn = m_{CLO} \quad (8) \end{aligned}$$

Ma in particolare poichè l'applicazione rispetta gli addendi si ha che  $m_{GAC,i} \leq m_{CLO,i}$ .

**II)** Sia  $I = (f, g)$  e provo che la funzione di Hilbert  $F_I(d) = \dim \frac{\mathbb{C}[x,y,z]_d}{I_d} = mn \quad \forall d \geq m+n$ .

Infatti sia  $S = \mathbb{C}[x, y, z]$ , allora  $I_d \rightarrow S_d \rightarrow S_d/I_d$ . Considero ora:

$$\begin{aligned} \mathbb{C}_{d-m} \oplus \mathbb{C}_{d-n} &\rightarrow I_d \rightarrow 0 \\ (h_1, h_2) &\mapsto h_1 f + h_2 g \end{aligned}$$

Il cui nucleo è

$$\begin{aligned} \mathbb{C}_{d-m-n} &\hookrightarrow \mathbb{C}_{d-m} \oplus \mathbb{C}_{d-n} \\ k &\mapsto (kg, -kf) \end{aligned}$$

Infatti  $(kg)f + (-kf)g = 0$ . Si può quindi concludere che

$$\begin{aligned} F_I(d) &= \dim(S_d/I_d) = \\ &= \binom{d+2}{2} - \left( \binom{d-m+2}{2} + \binom{d-n+2}{2} \right) + \binom{d-m-n+2}{2} = \\ &= \frac{(d+2)(d+1)}{2} - \left( \frac{(d-m+2)(d-m+1)}{2} + \frac{(d-n+2)(d-n+1)}{2} \right) + \\ &+ \frac{(d-m-n+2)(d-m-n+1)}{2} = \frac{1}{2} \{ d[3 - (-2m+3 - 2n+3)] \\ &- 2m - 2n + 3 \} + \{ -(m^2 - 3m + n^2 - 3n) + m^2 + 2mn - 3m + n^2 - 3n \} \\ &= \frac{2mn}{2} = mn \end{aligned}$$

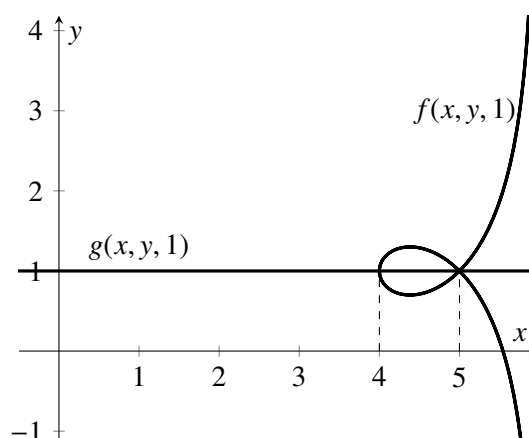
Ora,  $\dim \mathcal{R} = \dim \frac{\mathbb{C}[x,y,z]_d}{I_d}$  per  $d \gg 0$ . Questo termina la dimostrazione poichè si ha che le disuguaglianze della prima parte diventano uguaglianze per ogni  $i$ , ossia  $m_{GAC,i} = m_{CLO,i}$ .

□

## 6 Esempio

Prendiamo le due curve algebriche  $C = \mathbf{V}(-x^3 + 14x^2z + y^2z - 65xz^2 - 2yz^2 + 101z^3)$  e  $D = \mathbf{V}(y - z)^3$ . Osserviamo che  $C$  e  $D$  non hanno componenti irriducibili in comune e che  $f(0, 0, 1) = 101 \neq 0$  e  $g(0, 0, 1) = -1 \neq 0$ , perciò è soddisfatta la condizione (4). Usiamo il software Macaulay2 per vedere che le molteplicità  $m_{GAC}$  e  $m_{CLO}$  coincidono. Calcoliamo il risultante  $Res(f, g, z)$  con il seguente codice:

```
R=QQ[x, y, z]
f=-x^3+14*x^2*z+y^2*z-65*x*z^2-2*y*z^2+101*z^3
g=(y-z)^3
factor resultant(f,g,z)
```



Tale codice ci rende la fattorizzazione del risultante uguale a  $Res(f, g, z) = (x - 5y)^6(x - 4y)^3$ . I punti di intersezione in  $\mathbb{C}^2$  e le relative molteplicità sono:  $p_1 = (5, 1)$  con  $I_{p_1}(C, D) = 6$  e  $p_2 = (4, 1)$  con  $I_{p_2}(C, D) = 3$ . Inoltre si può osservare dal grafico di  $f(x, y, 1)$  e  $g(x, y, 1)$  che i due punti di intersezione non intersecano la retta  $z = 0$ , quindi anche l'ideale zero dimensionale  $I = (-x^3 + 14x^2 + y^2 - 65x - 2y + 101, (y - 1)^3)$  ha esattamente 9 soluzioni e  $\mathbf{V}(I) = \{p_1, p_2\} \subset \mathbb{C}^2$ .

Vediamo ora che prese le matrici compagne relative ai polinomi ottenuti dalla fattorizzazione di  $Res(f, g, z)$  cosa otteniamo.

```
J=ideal(sub(f, z=>1), sub(g, z=>1))
S=QQ[x, y]
I=sub(J, S)
bb=sub(basis(S/I), S)
```

```

h=x-5*y
comph=sub(contract(transpose bb,(bb_(0,0))*h%I),{x=>0,y=>0})
for i from 1 to 8 do
comph=comph|sub(contract(transpose bb,(bb_(0,i))*h%I),{x=>0,y=>0})
for i from 1 to 6 do print(i,rank comph^i)
--si puo' ripetere il procedimento con h=x-4*y

```

Nel codice, preso l'ideale zero dimensionale  $I$ , abbiamo costruito la matrice compagna  $M_h$  con  $h = x - 5y$  relativa all'autovalore  $h(p_1) = h(5, 1) = 0$ . Abbiamo stampato il rango di  $(M_{x-5y})^i$  per  $i = 1, \dots, 6$ , ottenendo i seguenti valori:

$(1, 7); (2, 5); (3, 4); (4, 3); (5, 3); (6, 3)$

dove il primo elemento è relativo alla potenza della matrice compagna e il secondo è relativo al rango.

Si osserva che il rango dalla quarta potenza si stabilizza a 3, quindi  $m_{GAC,1} = \dim \text{Ker}(M_{x-5y})^\infty = 9 - 3 = 6$ . Questo prova che la molteplicità del punto  $p_1$  secondo le due definizioni viste è uguale a 6. Analogamente si può vedere che  $m_{GAC,2} = 3$ .

## Riferimenti bibliografici

- [1] D. Cox, J. Little, D. O'Shea, *Ideals, Varieties and Algorithms*, third edition, Springer, New York, 2007.
- [2] W. Fulton, *Algebraic Curves, An introduction to algebraic geometry*, Benjamin, New York, 1969
- [3] F. Kirwan, *Complex Algebraic Curves*, London Mathematical Society Student Texts 23, Cambridge University Press, Cambridge, 1992
- [4] G. Ottaviani, *Soluzioni di equazioni polinomiali zero dimensionali*, note reperibili online
- [5] G. Ottaviani, *Introduzione alle varietà algebriche, un punto di vista costruttivo*, note reperibili online